

Расчет пределов огнестойкости металлических конструкций с конструктивной и неконструктивной огнезащитой

Оглавление

1. Аннотация	3
2. Цели и задачи	3
3. Общие положения	3
4. Описание моделей рассматриваемых конструкций	3
4.1. Колонны	3
4.2. Ригели	5
4.3. Балки	5
4.4. Связи	6
5. Прочностные (статические) расчеты	7
6. Теплотехнические расчеты.....	10
7. Вывод.....	13

1. Аннотация

В работе приведены прочностной (статический) и теплотехнические расчеты металлических конструкций каркаса с нанесенными огнезащитными покрытиями.

2. Цели и задачи

Цель работы – поведение прочностного (статического) и теплотехнического расчета (на основе результатов компьютерного моделирования) металлических конструкций каркаса с нанесенными огнезащитными покрытиями.

Задачи:

- описание расчетной модели;
- прочностной (статический) расчет (определение критической температуры стали исследуемых конструкций);
- теплотехнический расчет (построение компьютерных моделей конструкций, моделирование прогрева конструкций при тепловом воздействии стандартного режима пожара, определение времени достижения критической температуры стали конструкций).

3. Общие положения

Расчет пределов огнестойкости стальных конструкций производится по признаку потери несущей способности (R) в нагретом состоянии в результате ее снижения до уровня нормативной нагрузки.

Расчет предела огнестойкости стальной конструкции по потере несущей способности состоит из теплотехнической и прочностной (статической) частей.

Сущность расчета заключается в определении критической температуры стали исследуемой конструкции, при которой наступает её предел огнестойкости проведением статического расчета и определении времени от начала теплового воздействия до достижения критической температуры проведением теплотехнического расчета.

Статический расчет конструкции производится в соответствии "Расчетно-экспериментальный метод определения предела огнестойкости несущих металлических конструкций с тонкослойными огнезащитными покрытиями: Методика. – ФГБУ ВНИИПО МЧС России, 2013".

Моделирование прогрева конструкций при тепловом воздействии стандартного режима пожара (теплотехнический расчет) выполнено в программном комплексе ANSYS Mechanical 14.0.

Прочностной (статический) и теплотехнический расчет производился для наиболее нагруженных элементов металлического каркаса здания¹.

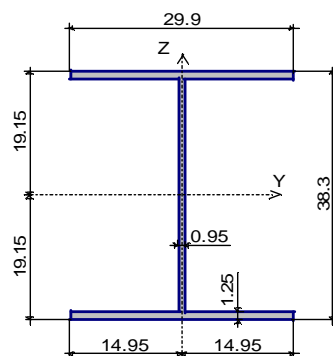
4. Описание моделей рассматриваемых конструкций

4.1. Колонны

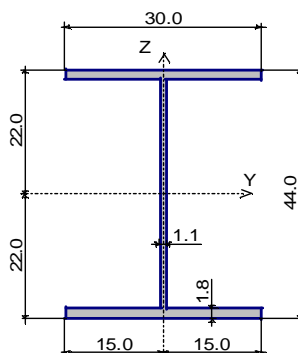
Сечение: Двутавр широкополочный по СТО АСЧМ 20-93 40Ш1 в осях 1, 2

¹ 4377.4.Р.03.КС.7.18.КМ.000., 4377.3.Р.03.КС.3.18.АС.000.РР КС-3.

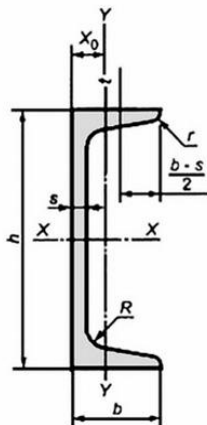
– 2 по рядам Б и Г, огнезащитной покрытие ГВЛ 2 слоя (25 мм)².



Сечение: Двутавр широкополочный по СТО АСЧМ 20-93 45Ш1 в осях 5 – 16 (по рядам Б и Г), в осях 17, 19, 21 (по рядам А – Г), огнезащитное покрытие 3 слоя ГВЛ (37,5 мм)³.



Сечение: Швеллер широкополочный по ГОСТ 8240-97 20У в осях 17, 21 (по рядам Б – Г), огнезащитное покрытие СОШ1 (25 мм)⁴.



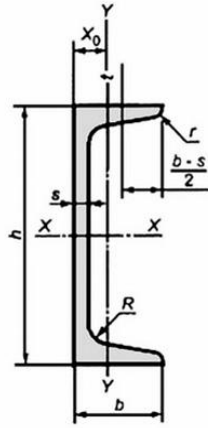
Сечение: Швеллер широкополочный по ГОСТ 8240-97 20У в осях 5, огнезащитное покрытие 2 слоя ГВЛ (25 мм)⁵.

² Там же.

³ Там же.

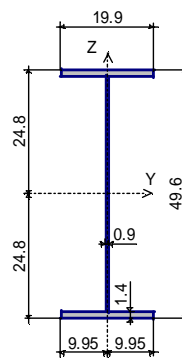
⁴ Там же.

⁵ Там же.

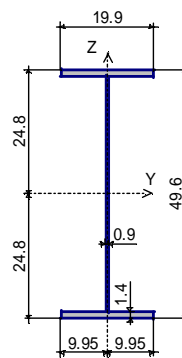


4.2. Ригели

Сечение: Двутавр нормальный (Б) по СТО АСЧМ 20-93 50Б2 в осях 1 – 4 (по рядам Б – Г), огнезащитное покрытие 2 слоя ГВЛ (25 мм)⁶.



Сечение: Двутавр нормальный (Б) по СТО АСЧМ 20-93 50Б2 в осях 17 – 18, 20, 21 (по рядам А – Г), огнезащитное покрытие 3 слоя ГВЛ (37,5 мм)⁷.



Сечение: Двутавр нормальный (Б) по СТО АСЧМ 20-93 55Б2 в осях 5 – 16 (по рядам Б – Г)⁸.

4.3. Балки

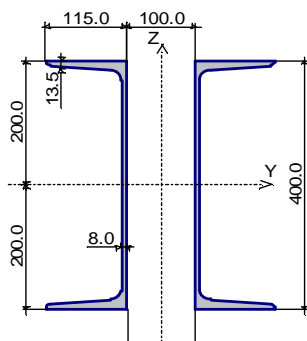
Сечение: Швеллер с уклоном полок по ГОСТ 8240-89 40 в осях 17 – 21 (по рядам А – Д)⁹.

⁶ Там же.

⁷ Там же.

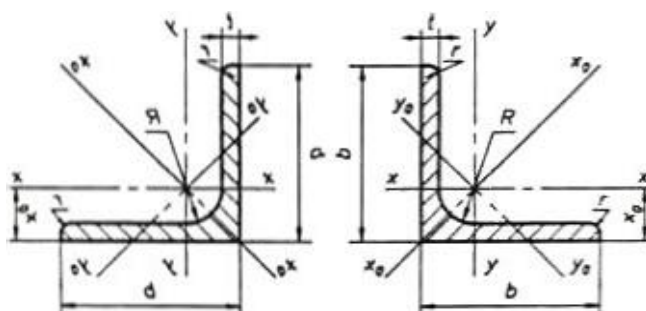
⁸ Там же.

⁹ Там же.

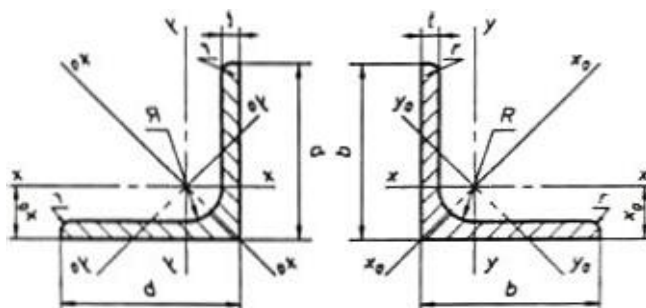


4.4. Связи

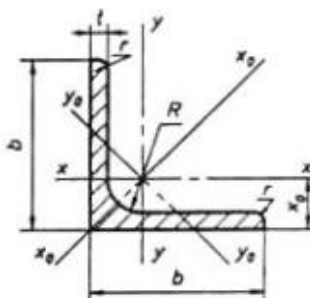
Сечение: ВС1-6 спаренный уголок 90x90x7 в осях 2 – 3 (по рядам Б, Г), огнезащитное покрытие СГК (1,78 мм)¹⁰.



Сечение: ВС1-6 спаренный уголок 90x90x7 в осях 9 – 10 (по рядам Б, Г) огнезащитное покрытие СГК (5,58)¹¹.



Сечение: ГС1-8 уголок 90x90x7 в осях 1 – 4 (по рядам Б, Г) огнезащитное покрытие СГК (1,78)¹².

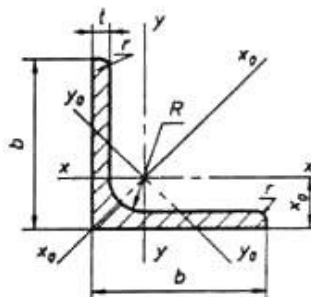


¹⁰ Там же.

¹¹ Там же.

¹² Там же.

Сечение: ГС1-8 уголок 90x90x7в осях 5 – 6, 15 – 16 (по рядам Б,Г), в осях 17 – 21 (по рядам А, Б, Г, Д) огнезащитное покрытие СГК (5,58)¹³.



5. Прочностные (статические) расчеты

Расчет наиболее нагруженной колонны по оси 2¹⁴

Сечение: Двутавр широкополочный по СТО АСЧМ 20-93 40Ш1

Из условия прочности¹⁵

$$\gamma_{tem} = \frac{N}{AR_{yn}} = \frac{175,6 \cdot 10^3}{112,9 \cdot 10^{-4} \cdot 345 \cdot 10^6} = 0,05$$

$$t_{cr} = 750 - 440\gamma_{tem} = 750 - 440 \cdot \gamma_{tem} = 730,2^0 C$$

Из условия устойчивости¹⁶

$$\gamma_{tem} = \frac{N}{AR_{yn}} = \frac{175,6 \cdot 10^3}{112,9 \cdot 10^{-4} \cdot 345 \cdot 10^6} = 0,05$$

$$\lambda = \frac{l_0}{i_{min}} = 53,8^{17}$$

$$\sigma_n = \frac{N}{A} = \frac{175,6 \cdot 10^3}{112,91 \cdot 10^{-4}} = 15,6 \text{ МПа}$$

$$\Delta \varepsilon_n = \frac{\pi^2}{\lambda^2} - \frac{\sigma_n}{E} = \frac{3,14^2}{53,8^2} - \frac{15,6 \cdot 10^6}{2,1 \cdot 10^5} = 26,6 \cdot 10^{-4}$$

$$t_{cr} = 700^0 C^{18}$$

Расчет наиболее нагруженной колонны по оси 16¹⁹

Сечение: Двутавр широкополочный по СТО АСЧМ 20-93 45Ш1

¹³ Там же.

¹⁴ 4377.3.Р.03.КС.3.18.АС.000.РР КС-3.

¹⁵ Средства огнезащиты для стальных конструкций. Расчетно-экспериментальный метод определения предела огнестойкости несущих металлических конструкций с тонкослойными огнезащитными покрытиями : Методика - СПб.: ВНИИПО МЧС России, 2013.-16с.

¹⁶ Там же.

¹⁷ 4377.3.Р.03.КС.3.18.АС.000.РР КС-3.

¹⁸ Здания, сооружения и их устойчивость при пожаре : Учебник – М.: Академия ГПС МЧС России, 2003.-656с.

¹⁹ 4377.3.Р.03.КС.3.18.АС.000.РР КС-3.

Из условия прочности²⁰

$$\gamma_{tem} = \frac{N}{AR_{yn}} = \frac{368,7 \cdot 10^3}{157,99 \cdot 10^{-4} \cdot 345 \cdot 10^6} = 0,07$$

$$t_{cr} = 750 - 440\gamma_{tem} = 750 - 440 \cdot \gamma_{tem} = 719,2^0 C$$

Из условия устойчивости²¹

$$\gamma_{tem} = \frac{N}{AR_{yn}} = \frac{368,7 \cdot 10^3}{157,99 \cdot 10^{-4} \cdot 345 \cdot 10^6} = 0,07$$

$$\lambda = \frac{l_0}{i_{min}} = 46,9^{22}$$

$$\sigma_n = \frac{N}{A} = \frac{368,7 \cdot 10^3}{157,99 \cdot 10^{-4}} = 23,3 \text{ МПа}$$

$$\Delta \varepsilon_n = \frac{\pi^2}{\lambda^2} \cdot \frac{\sigma_n}{E} = \frac{3,14^2}{46,9^2} \cdot \frac{23,3 \cdot 10^6}{2,1 \cdot 10^5} = 34 \cdot 10^{-4}$$

$$t_{cr} = 700^0 C^{23}$$

Расчет наиболее нагруженной колонны по оси 17

Сечение: Швеллер широкополочный по ГОСТ 8240-97 20У²⁴

Из условия прочности²⁵

$$\gamma_{tem} = \frac{N}{AR_{yn}} = \frac{78 \cdot 10^3}{23,4 \cdot 10^{-4} \cdot 345 \cdot 10^6} = 0,1$$

$$t_{cr} = 750 - 440\gamma_{tem} = 750 - 440 \cdot \gamma_{tem} = 706^0 C$$

Из условия устойчивости²⁶

$$\gamma_{tem} = \frac{N}{AR_{yn}} = \frac{78 \cdot 10^3}{23,4 \cdot 10^{-4} \cdot 345 \cdot 10^6} = 0,1$$

$$\lambda = \frac{l_0}{i_{min}} = \frac{4470}{80,7} = 55,4$$

²⁰ Средства огнезащиты для стальных конструкций. Расчетно-экспериментальный метод определения предела огнестойкости несущих металлических конструкций с тонкослойными огнезащитными покрытиями : Методика - СПб.: ВНИИПО МЧС России, 2013.-16с.

²¹ Там же.

²² 4377.3.Р.03.КС.3.18.АС.000.РР КС-3.

²³ Здания, сооружения и их устойчивость при пожаре : Учебник – М.: Академия ГПС МЧС России, 2003.-656с.

²⁴ 4377.4.Р.03.КС.7.18.КМ.000.

²⁵ Средства огнезащиты для стальных конструкций. Расчетно-экспериментальный метод определения предела огнестойкости несущих металлических конструкций с тонкослойными огнезащитными покрытиями : Методика - СПб.: ВНИИПО МЧС России, 2013.-16с.

²⁶ Там же.

$$\sigma_n = \frac{N}{A} = \frac{78 \cdot 10^3}{23,4 \cdot 10^{-4}} = 33,3 \text{ МПа}$$

$$\Delta \varepsilon_n = \frac{\pi^2}{\lambda^2} \cdot \frac{\sigma_n}{E} = \frac{3,14^2}{55,4^2} \cdot \frac{33,3 \cdot 10^6}{2,1 \cdot 10^5} = 16,2 \cdot 10^{-4}$$

$$t_{cr} = 700^0 \text{ C}^{27}$$

Расчет наиболее нагруженных ригелей²⁸

Сечение: Двутавр нормальный (Б) по СТО АСЧМ 20-93 50Б2

$$M_n = \frac{Nl}{4} = \frac{82,4 \cdot 10^3 \cdot 1,5}{4} = 30,9 \text{ кНм}$$

$$\gamma_{tem} = \frac{M_n}{C_1 W_{nx} R_{yn}} = \frac{30,9 \cdot 10^3}{1,17 \cdot 16,88 \cdot 10^{-4} \cdot 345 \cdot 10^6} = 0,05$$

$$t_{cr} = 750 - 440 \gamma_{tem} = 750 - 440 \cdot 0,05 = 728^0 \text{ C}$$

Сечение: Двутавр нормальный (Б) по СТО АСЧМ 20-93 55Б2²⁹

$$M_n = \frac{Nl}{4} = \frac{165,4 \cdot 10^3 \cdot 1,5}{4} = 62 \text{ кНм}$$

$$\gamma_{tem} = \frac{M_n}{C_1 W_{nx} R_{yn}} = \frac{62 \cdot 10^3}{1,17 \cdot 22,95 \cdot 10^{-4} \cdot 345 \cdot 10^6} = 0,06$$

$$t_{cr} = 750 - 440 \gamma_{tem} = 750 - 440 \cdot 0,06 = 723,6^0 \text{ C}$$

Расчет наиболее нагруженной балки перекрытия на отм. +3,300, по оси Б³⁰

Сечение: Швеллер с уклоном полок по ГОСТ 8240-89 40

$$M_n = \frac{Nl}{4} = \frac{65,7 \cdot 10^3 \cdot 5,3}{4} = 87,1 \text{ кНм}$$

$$\gamma_{tem} = \frac{M_n}{C_1 W_{nx} R_{yn}} = \frac{87,1 \cdot 10^3}{1,17 \cdot 7,61 \cdot 10^{-4} \cdot 345 \cdot 10^6} = 0,3$$

$$t_{cr} = 750 - 440 \gamma_{tem} = 750 - 440 \cdot 0,3 = 618^0 \text{ C}$$

²⁷ Здания, сооружения и их устойчивость при пожаре : Учебник – М.: Академия ГПС МЧС России, 2003.-656с.

²⁸ 4377.3.Р.03.КС.3.18.АС.000.РР КС-3.

²⁹ Там же.

³⁰ Там же.

6. Теплотехнические расчеты

Испытания на огнестойкость образцов строительных конструкций проводятся при воздействии на их поверхность стандартного температурного режима пожара, определяемого в виде следующей зависимости:

$$T = T_0 + 345 \log\left(\frac{8}{60}\tau + 1\right),$$

где T_0 – начальная температура, °С; τ – время от начала испытаний, с.

Граничные условия задачи описываются лучистым и конвективным теплообменом поверхности конструкции с окружающей средой:

$$-\lambda \text{grad}T = \alpha_k(T - T_s) + \varepsilon_{\text{пр}}\sigma(T^4 - T_s^4),$$

где $\alpha_k = 29 \text{ Вт/м}^2$ – коэффициент конвективного теплообмена для обогреваемой поверхности³¹;

$\varepsilon_{\text{пр}}$ – приведенная степень черноты системы «обогревающая среда – поверхность конструкции»;

σ – постоянная Стефана - Больцмана;

T, T_s – температуры газовой фазы и поверхности конструкции, К.

Приведенная степень черноты системы «среда – поверхность конструкции» рассчитывается по формуле:

$$\varepsilon_{\text{пр}} = \frac{1}{\frac{1}{\varepsilon_{\text{эф}}} + \frac{1}{\varepsilon_{\text{пов}}} - 1},$$

где $\varepsilon_{\text{эф}}$ – эффективная степень черноты продуктов горения; $\varepsilon_{\text{пов}}$ – степень черноты поверхности конструкции.

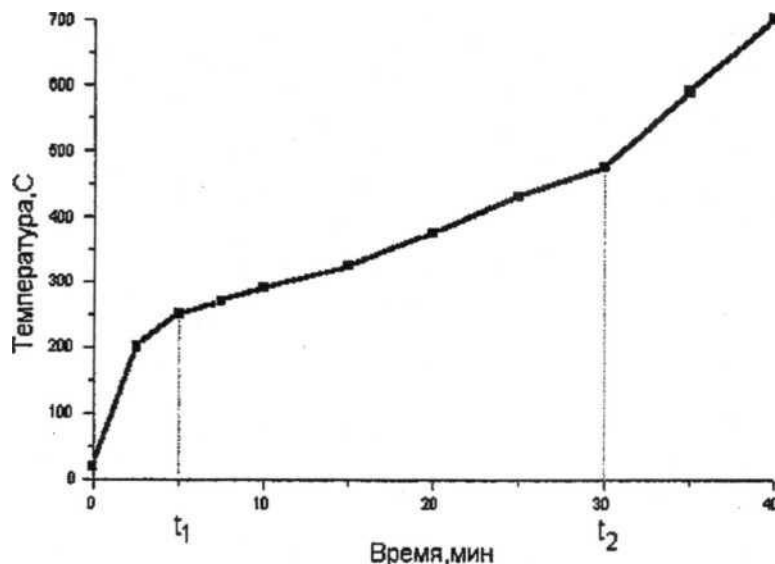
При огнезащите конструкции вспучивающимися составами скорость нагрева стальной конструкции оценивается при пренебрежении теплоёмкостью огнезащитного покрытия, зависимостью теплофизических свойств покрытия от координаты и в приближении усредненного по толщине покрытия градиента температур следующим уравнением:

$$\frac{dT_s}{dt} = \frac{\lambda(T - T_s)}{d\rho_s c_s \delta_{\text{пр}}},$$

где λ – коэффициент теплопроводности покрытия, Вт/(м·К); d – толщина покрытия в исходном состоянии, м; ρ_s – плотность стали, кг/м³; c_s – средняя удельная теплоёмкость стали, Дж/(кг·К); T – температура в печи, К; T_s – температура конструкции, К; $\delta_{\text{пр}}$ – приведенная толщина металла, м.

На рисунке ниже приведена характерная зависимость от времени температуры стальной конструкции, защищённой слоем ОВП, на которой видны две точки перегиба, соответствующие вспучиванию покрытия и началу его выгорания. Температурная зависимость разбивается на три участка: нагрев конструкции через невспученное покрытие ($0 < t < t_1$), полностью вспученное ($t_1 < t < t_2$) и выгорающее ($t > t_2$).

³¹ Расчетно-экспериментальный метод определения предела огнестойкости несущих металлических конструкций с тонкослойными огнезащитными покрытиями: Методика. – ФГБУ ВНИИПО МЧС России, 2013.



Очевидно, что использование среднего коэффициента теплопроводности не позволяет учесть отсутствие защитного слоя до вспучивания покрытия и изменение скорости нагрева конструкции после начала выгорания покрытия.

Для учёта перечисленных эффектов используется следующая математическая модель:

$$\frac{dT_s}{dt} = \frac{\alpha_k(T - T_s)}{\rho_s c_s \delta_{пр}} + \frac{\varepsilon_{пр} \sigma (T^4 - T_s^4)}{\rho_s c_s \delta_{пр}}, \text{ при } T_s < T_{всп};$$

$$\frac{dT_s}{dt} = \frac{\lambda_1(T - T_s)}{d\rho_s c_s \delta_{пр}}, \text{ при } T_{всп} < T_s < T_{нв};$$

$$\frac{dT_s}{dt} = \frac{\lambda_2(T - T_s)}{d\rho_s c_s \delta_{пр}}, \text{ при } T_s > T_{нв};$$

где $T_{всп}$ – температура начала вспучивания покрытия; $T_{нв}$ – температура начала выгорания покрытия.

Коэффициент теплопроводности слоя тонкослойного вспучивающегося огнезащитного покрытия в общем случае может зависеть от условий обогрева конструкций (горизонтально установленные балки, вертикально установленные колонны).

Тепловые свойства материалов, применяемые в расчете³²:

Материал	Плотность, кг/м ³	Теплопроводность, Вт/(м·К)	Теплоемкость, кДж/(кг·К)
Сталь С345	7850	58	482
СОШ-1	450	0,07	1130
ГВЛ	1080	от 0,22 при 20 °С до 0,36 при 1200 °С	840

Свойства состава СГК-2.

Плотность невспученного состава – 1500 кг/м³. При вспучивании увеличивается в объеме в 40 раз. Плотность вспученного состава (с учетом потерь) – 30 кг/м³.

³² По данным, представленным Заказчиком

Теплопроводность вспученного состава 0,07 Вт/(м·К).

Температура начала вспучивания – 250 °С.

Температура начала выгорания – 800 °С.

Теплоемкость – 750 Дж/(кг·К).

Описанная модель теплообмена и характеристики материалов реализованы в программном комплексе ANSYS Mechanical 14.0.

7. Вывод

Результаты прочностных (статических) и теплотехнических расчетов приведены в таблице:

Конструкции ³³	Профиль ³⁴	Огнезащитное покрытие ³⁵	Толщина огнезащитного покрытия ³⁶	Критическая температура, °C ³⁷	Время достижения критической температуры (предел огнестойкости фактический), мин ³⁸
Колонны	двутавр h=364 s = 12 b=400 t=18 δ _{пр} = 12 мм	«Кнауф» (45 мин.)	12,5 мм	680	> 120
Колонны	двутавр h=372 s = 10 b=300 t=14 δ _{пр} = 8,8 мм	CONLIT (45 мин)	25 мм	520	119
Колонны	два швеллера 30У δ _{пр} = 6,5 мм	«Кнауф» (45 мин.)	12,5 мм	520	73,7
Колонны	два швеллера 30У δ _{пр} = 6,5 мм	CONLIT (45 мин)	25 мм	520	105
Колонны	швеллер 24У	цементно-песчаный раствор	30 мм	500	51
Ригели	 уголки сварные 90x7 по листу 60x60x10 δ _{пр} = 3,3 мм	«Кнауф» (45 мин.)	12,5 мм	500	61,5

³³ 4377.3.Р.03.КС.3.18.АС.000.РР КС-3.

³⁴ Там же.

³⁵ 4377.4.Р.03.КС.7.18.КМ.000.

³⁶ Там же.

³⁷ Прочностной (статический) расчет.

³⁸ Теплотехнический расчет.

Конструкции ³³	Профиль ³⁴	Огнезащитное покрытие ³⁵	Толщина огнезащитного покрытия ³⁶	Критическая температура, °С ³⁷	Время достижения критической температуры (предел огнестойкости фактический), мин ³⁸
Балки	двутавр h=376 s = 8 b=200 t=12 δ _{пр} = 6,6 мм	«Кнауф» (45 мин.)	12,5 мм	574	90,7
Балки перекрытий	двутавр h=376 s = 8 b=200 t=12 δ _{пр} = 5,7 мм	«УНИПОЛ» (45 мин.)	1,8 мм	500	73,5
Связи	уголок 90×7 δ _{пр} = 3,4 мм	«УНИПОЛ» (45 мин.)	1,8 мм	500	50,5
Связи	 уголки 90×7 по листу 120×60×10 δ _{пр} = 4,3 мм	«Кнауф» (45 мин.)	12,5 мм	500	59
Косоуры лестничных маршей	швеллер 18У δ _{пр} = 4,9 мм	«Кнауф» (45 мин.)	12,5 мм	500	57,2
Косоуры лестничных маршей	швеллер 16У δ _{пр} = 4,6 мм	«Кнауф» (45 мин.)	12,5 мм	500	55
Площадки	швеллер 24У δ _{пр} = 4,7 мм	«Кнауф» (45 мин.)	12,5 мм	500	60,2
Площадки	швеллер 16У δ _{пр} = 4,6 мм	«Кнауф» (45 мин.)	12,5 мм	500	55

Приложение

Исходные данные и результаты теплотехнической части расчета ANSYS Mechanical